日本産科婦人科学会雑誌 ACTA OBST GYNAEC JPN Vol. 32, No. 2, pp. 187—195, 1980 (昭55, 2月)

排卵調節における Prostaglandins と性ステロイドの 相関に関する実験的研究

京都大学医学部婦人科学産科学教室(主任:西村敏雄教授)

研究生 木 下 唐

Experimental Studies on the Relationship between Prostaglandins and Sex Steroids in the Control of Ovulation

Yasushi Kinoshita

Department of Obstetrics and Gynecology, School of Medicine, Kyoto University, Kyoto (Director: Prof. Toshio Nishimura)

概要 排卵の成立には prostaglandins (PG) と性ステロイドがそれぞれ必要であることが、これまで別個に検討されてきたが、排卵機構に関与する両者の相互関係については全く知られていない。この点を明らかにするため、妊馬血清性ゴナドトロピン (PMS) とヒト絨毛性ゴナドトロピン (hCG) の順次投与で排卵誘起をした幼若ラットに、PG の生合成阻害剤である indomethacin (IM) を hCG と同時に投与して排卵を抑制した場合、末梢血中 progesterone (P)、testosterone (T)、estradiol-178 (E₂) の変動を検討し、次の結果を得た。

1) IM の投与量を増すにつれて平均排卵数は用量反応的に減少し、 $90\mu g$ 投与で最低に達し、以後3,600 μg まで増量しても不変であつた。2) hCG 投与後 P, T, E₂ 値の経時的変動をみると、3種のステロイドとも急激に上昇し、3時間目に最高値に達したが、排卵過程の前半期である6時間目までに急激に減少した。3) 排卵抑制最少有効量の IM $(90\mu g)$ を投与した場合、P, T では排卵過程前半期の急激な増加が全く消失したのに対し、E₂ では対照群と同様の初期上昇が認められた。4) 種々の量の IM を投与した場合、18時間後の P, T, E₂ 値は対照群のそれに比して有意の変化を示さなかつた。3時間後の P, T 値はそれぞれ18、36 μg 投与群まで急激に減少し、以後 P は緩徐に減少して3,600 μg で最低に達したが T は殆ど不変であつた。E₂ は 180 μg まで不変で 360 μg 以上で軽度の有意な減少を示した。5) PMS+hCG 処置を施した垂摘ラットでは 14.6±5.6 の排卵を認め、hCG 投与後 3 時間目で P, T, E₂ とも著増した。IM $(90\mu g)$ 投与では排卵数は 0 となり、かつ 3 時間後の P, T の増加は完全に抑制され 非垂摘ラットでの成績が 再現された。以上の成績は IM が 卵巣レベルで P および T の産生を抑制することにより排卵が 抑制されるものと解釈された。そして IM が PG 生合成阻害剤であることがら、PG が排卵過程前半期において卵巣のステロイド産生を促進することが、卵胞破裂へと導く 1 つの作用機序であることが強く示唆された。

Synopsis With the aid of indomethacin (IM) the relationship between prostaglandins (PGs) and sex steroids in the regulation of ovulation was studied in immature rats treated sequentially with pregnant mare serum gonadotropin (PMS) followed by human chorionic gonadotropin (hCG). Plasma concentrations of progesterone (P), testosterone (T) and estradiol (E₂) were measured by radioimmunoassays.

Plasma concentrations of P, T and E₂ increased acutely and temporarily with peak levels 3 h following hCG. Concurrent injection via the tail vein of IM with hCG reduced dose-dependently the mean number of ova shed, being accompanied by a graded decrease in plasma concentrations of P and T, but not of E₂, 3 h following hCG. The minimum effective dose (90 µg) that blocked ovulation completely in intact rats abolished the acute increase of P and T 3 h after hCG and inhibited subsequent ovulation in hypophysectomized immature rats. These facts suggest that PGs may act on ovulation by stimulating ovarian steroidogenesis in the preovulatory process.

Key words: Prostaglandins • Indomethacin • Sex steroids • Ovulation • Radioimmunoassay

緒 言

排卵の成立に prostaglandins (PG) が関与していることは、今日一般に認められている。 その

根拠として、 卵胞中の PG 濃度が、 卵胞破裂に 向かつて上昇することがラット (LeMaire et al., 1975)⁹⁾ やウサギ (LeMaire et al., 1973)¹⁰⁾ で 観察されること、また PG 生合成阻害剤である indomethacin (IM) によつて、排卵が抑制されること (Armstrong et al., 1972)³⁾ などの事実があげられている。この場合 PG の作用部位は、間脳下垂体レベル (Orczyk et al., 1971)¹⁷⁾ である可能性もあるが、主として卵巣への直接作用であるとの見方が妥当であろう (Armstrong et al., 1974⁴⁾; Sato et al., 1974¹⁹⁾).

しかし卵巣レベルにおける PG の作用機序は複雑で、おそらくは多面的であり、その全貌が明らかにされるには至つていない。卵巣の収縮性におよぼす影響は(Virutamasen et al., 1972^{22} ; Diaz-Infante et al., 1974^{6} ; Okamura et al., 1974^{16} ; Hamada et al., 1976^{8} , 作用機序の重要な一面を示すものであろう。事実 IM は、卵胞の黄体化やステロイド生合成を阻害することなく、排卵の物理的プロセスのみを阻害する結果、排卵を抑制すると考えられてきた(O'Grady et al., 1972^{15}); Grinwich et al., 1972^{7}).

他方当教室では、排卵刺激後、卵巣でその産生が急増する progesterone (P) や androgen が、その後の卵胞破裂に必須であることを証明している (Mori et al., 1977^{12}); Mori et al., 1977^{13}). これら性ステロイドの作用機序もいまだ不明といわざるを得ないし PG との相関も明らかでない.

最近 PG が in vitro でステロイド生合成を促進することが報告されていることからも (Speroff et al., 1970^{20}); Marsh et al., 1974^{11} , 卵胞破裂に必須のステロイド生合成の調節を通して, PG が卵胞破裂に関与している可能性は高い. 本研究では,IM の排卵抑制効果を性ステロイド産生におよばす影響から検討することによりこの可能性を追求し,有意義な知見を得たので報告する.

実験材料と方法

1. 実験動物とその処置

実験動物としては、これまで当研究室で誘発排卵実験に用いてきた幼若ラットを使用した (Mori et al., 1977¹²⁾). Wistar 系幼若雌 ラット (体重30~40g) に生後22日齢の朝、5国際単位 (IU)の妊馬血清性ゴナドトロピン (PMS) を背部皮下

に注射し、56時間後に10IU のヒト絨毛性ゴナドトロピン(hCG)を尾静脈より注射して排卵を誘起した。また実験目的により生後20日目に下垂体摘除を施した同系同日齢の幼若ラットも併用した。動物は14時間照明の空調飼育室にて、充分な固形飼料(オリエンタル酵母工業 K.K.)と水の給与の下に飼育した。

indomethacin (1-[p-chlorobenzoyl]-5-methoxy-2-methylindole-3-acetic acid, 以下 IM と略, 日本メルク万有株式会社) 処置を異にする次の4種の実験を行なつたが、IM は0.01M 炭酸ナトリウム溶液 (pH 9.3) に溶解し、その0.1ml 中に所要量を含むようあらかじめ調製した.

実験 I では、IM の投与量と排卵反応との用量 反応関係を検討する目的から、下垂体非摘除ラットを用い、1 匹当 り1.8、3.6、9.0、18、36、90、180、360、900、1,800および3,600 μg の IM を hCG と同時に静注した場合の排卵数を算定した。剖検時(hCG 投与後18時間目)心臓穿刺で 採血、血漿を分離し、性ステロイド測定用サンプルとして−20℃に凍結保存した。

実験 II では、排卵抑制に必要な IM の最少有効量を、hCG と同時に単回投与した場合、性ステロイド生合成機能におよぼす影響を経時的に検討することを目的とした。実験 I の成績から排卵抑制の最少有効量は90 μg と判定されたので、下垂体非摘除ラットを用い、hCG と同時に90 μg の IM を投与し、投与直前ならびに投与後 1, 2, 3, 6, 9, 12, 18時間後の血漿を採取した。IM を投与しない対照群についても同一の時点で剖検し採血した。

実験IIでは、実験IIの結果から hCG 投与後ピークに達することが明らかになつた 3 時間目の性ステロイド濃度が、hCG と同時に投与する IM を増量するにつれ如何なる影響を受けるかを検討した。その理由は、IM の影響を hCG 投与後18 時間目のステロイド濃度から判定することは不適当であることが、実験II の結果から判明したためである.

実験IVでは、IM が性機能系のどの部位に作用

しているかを知る目的から下垂体摘除ラットを用 いた. 排卵反応 については hCG と 同時 に90 µg の IM を投与し、18時間後の排卵数を算定し、 IM 非投与の対照群と比較した、また性ステロイ ド生合成機能については、hCG と同時に90μg の IM を投与し、3時間後の末梢血中性ステロイド 濃度を測定し、IM 非投与の対照群と比較した. 3時間後の末梢血を採取した理由は、hCG 注射 後この時点で末梢血中各種ステロイド濃度がピー クに達することを、実験Ⅱの結果から知り得たた めである.

2. 排卵数の算定方法

動物を軽いエーテル麻酔下で開腹し,両側卵管 および子宮を露出させ、それらを一塊として損傷 せぬように摘出し時計皿に移す。つぎに両側卵管 を子宮角から切り離し、スライドグラス上に載 せ、生理食塩水を数滴加えたのち、ある一枚のス ライドグラスで覆う、カバーグラスを軽く抑えな がら実体顕微鏡 (Olympus, SZ-Ⅱ型) 下に観察す ると、卵管膨大部の卵は明瞭に確認できる。hCG 投与後18時間前後では、排出された卵のほとんど は卵管膨大部に留まつているが、念のため予宮内 卵も算定した. pontamine sky blue の原液 1 滴を 約50ml の生理食塩水に加え、約3ml を子宮腟断 端から加圧注入し、卵管端から逆流する液を時計 皿上に集める. 青色に染まつた卵があれば、これ を明瞭に実体顕微鏡下に観察できる.

3. progesterone, testosterone, & J Westradiol-178 の測定

本研究においては、P,TおよびE2の3種の 性ステロイドを測定対象とした. 測定法は神戸 川¹⁾, 牧野²⁾の記載した Radioimmunoassay (RIA) に準じたが、そのあらましは図1に示した通りで ある. 末梢血漿中におけるこれら3種のステロイ ド濃度にはかなりの開きがあるので、同一血漿試 料から0.1ml をP測定用に、0.5または1.0ml を Tと E2 同時測定用に分割した. なお用いた有機 溶媒はすべて市販(和光純薬または半井化学製) の特級のものを使用した.

図 1 Outline of procedures for RIA of steroids Add 1,000 dpm of the 3H-steroid to the plasma sample Extract with ethyl ether Wash with 0.2 ml distilled water Evaporate to driness on incubator under N2 Separation of the steroids on microcolumn of Sephadex LH-20 Assay steroid Fraction 1/2 Volume for 1/2 Volume for assay measurements Add 10,000 dpm of the 3H-steroid of recovery Dry under nitrogen stream Incubation with an aliquot of appropriately diluted

antiserum to the steroid at room temperature for 30 min.

Separation free from bound steroids with 50% (NH₄)₂SO₄ at room temperature for 10 min

Centrifugation at 3,000 rpm for 10 min

0.2 ml of supernatant counted for ³H

4. 1913

表 1 Cross-reactivity of antisera to progesterone, testosterone and estradiol-17 β with various steroids

Compounds	Anti-P	Anti-T	Anti-E ₂
Progesterone	100*	0.065	< 0.08
Pregnenolone	1.46	< 0.009	< 0.08
20α-hydroxy progesterone	6.73	498-443	xdv-y
17α-hydroxy progesterone	0.89	0.017	< 0.08
Testosterone	0.17	100	0.29
Androstenedione	0.15	2.24	0.44
5α-dihydrotestosterone	14. H. + :	13.5	la glaste
Dehydroepiandrosterone	< 0.06	0.017	< 0.08
Estrone	< 0.06	< 0.009	3.20
Estradiol-17\(\beta\)	< 0.06	< 0.009	100
Estriol	< 0.06	< 0.009	<1.77
Cholesterol	< 0.06	NATE OF THE STATE	<0.08

工學是現在,發出工資、各口的。

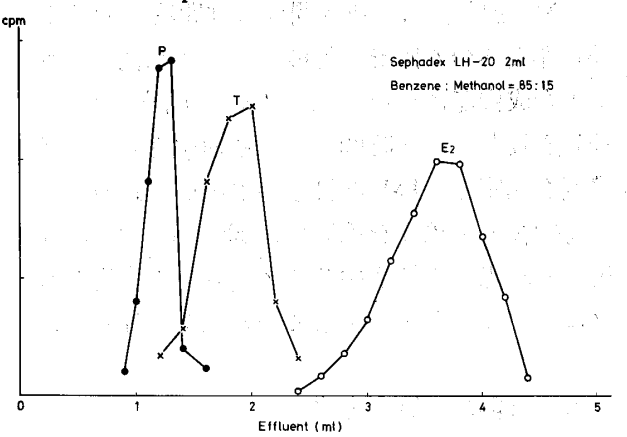
* Figures are expressed in % 机燃料 床上

抗ステロイド抗血清はすべて帝国臓器株式会社 から購入した. 抗P抗血清は progesterone-3-carboxymethyloxime を牛血清アルブミン (BSA) と 結合させて抗原とし、ウサギを免疫して作られた ものである. 同様に抗T, 抗E₂ 抗血清は testosterone-11-hemisaccinate-BSA, estradiol-6-carboxymethyloxime-BSA をそれぞれ 抗原 としたもので ある. これら抗血清の交叉反応性は表1に示した 如くで、それぞれの性ステロイドに極めて高い特 異性を有するものであると判断された。それぞれの抗体価を RIA 系にて測定した結果,目的とする測定領域には抗 P抗血清は20,000倍,抗 T抗血清は20,000倍,抗 E_2 抗血清は30,000倍稀釈がそれぞれ適当であることが判明した。

3 - B 測定手技

Pの試料血漿0.1ml に約1,000dpm の 1,2-3Hprogesterone (比放射能55.7Ci/mmol, New England Nuclear) を加え 2ml の ethyl ether とともに充 分振盪した後,下層をピペットで除去する. ether 層を0.2ml の蒸留水で洗浄し50~60℃恒温器中に て, 窒素ガス流下に ether を乾固する. T, E₂ の 試料血漿0.5ないし1.0ml には約1,000dpm の 1, 2-3H-testosterone (57.0Ci/mmol) および 6, 7-3Hestradiol-17β (44.0Ci/mmol) を加え、用いた試 料の量により 4 または 7ml の ethyl ether にて P と同様の操作で抽出する. ツベルクリン用注射 筒に 2ml の Sephadex LH-20 (Pharmacia Fine Chemicals) を充填して micro column を作成し, 先に ether で抽出した試料を0.2ml の展開液 Benzene: Methanol (85:15) にて吸着させる. Sephadex LH-20の micro column を用い、上記 展開液にて3種のステロイドを溶出した場合のパ ターンは図2に示した通りである. Pは1.0から 1.4ml, T と E₂ はそれぞれ1.4から2.2ml, 3.0か ら4.2ml の溶出部位を採取し、その半量を回収率 補正に、残りの半量を RIA に使用した。RIA 用 試料には約10,000dpm の標識ステロイドを加え, 窒素ガス流下に,80℃恒温器内で乾固した.抗P および抗T抗血清は20,000倍に、抗 E₂ 抗血清は 30,000倍に稀釈し、先に乾固した検体に稀釈抗血 清0.25ml を加え,室温で30分静置した. 標準曲 線作成用として 0, 20, 50, 100, 200, 500, 1,000pg の標準ステロイド(帝国臓器)をとり、同様な操 作を行なつた. 静置後, 結合型と遊離型とを分離 するため50w/v%の硫安を0.25ml 加え, 室温で10 分放置, 次いで3,000回転で10分間遠沈した. 上 清0.2ml をとり counting vial に移し、dioxane scintillator 10ml を加え液体シンチレーション計 数器 (Nuclear Chicago, Mark Ⅱ型) にて放射能

 ⊠ 2 Elution pattern of progesterone (P), testosterone (T) and estradiol-17β (E₂) on microcolumn of Sephadex LH-20



を計数した.

実験成績

1. 測定法の基礎的検討成績

A. 標準曲線

標準曲線は試料測定の都度作成した。縦軸に結合率を普通目盛で、横軸にステロイド量を対数目盛で表示した。 P測定系では0pg における結合率は $84.1\pm1.5\%$ (n=6)、500pg までの各点における標準偏差 (SD) は $\pm1.5\sim\pm5.1\%$ で、変動係数 (CV=SD×100/mean) は $1.8\sim13.8\%$ であった。 T測定系では 0pg における結合率は $77.5\pm1.8\%$ (n=6)、500pg までの各点における SD は $\pm1.8\sim\pm4.4\%$ 、CV は $2.3\sim16.1\%$ であり、 E_2 測定系では 0pg において結合率は $82.4\pm1.4\%$ (n=6)、500pg までの各点における SD は $\pm1.4\sim\pm3.0\%$ 、CV は $1.7\sim12.6\%$ であった。

B. Accuracy, Precision, Water blank と回収率本測定法の accuracy を検討するため、蒸留水と幼若雌ラット血漿とにそれぞれ $0\sim500$ pg のP, T および E_2 の純品を加え、全測定操作を行ない、測定値を求めその結果を表 2 に示した。 3 種のステロイドとも20pg 以下では CV は一般に許容されている20%の限界を越えるが、 $20\sim500$ pg の範囲ではこの限界以下であるため、この範囲での測定値は accurate であるといえる。 さらに本測定法の precision を検討するため、幼 若雌ラットの同一血漿サンプル中に含まれる P,

表 2 Accuracy of the method

Samples Progesterone	added (pg) 0 20	Mean (pg)	SD*	CV**	equation
Progesterone	0 20		, 2D.	inx	
Progesterone	20	7.2		(%)	Dice services and the con-
			3.1	43.2	ja se
		27.4	5.1	18.6	
in 0.1 ml of	50	58.3	7.8	13.4	Y=
water	.100	102.6	8.3	8.2	1.03x + 4.47
	200	206.4	18.9	9.2	
	500	521.0	45.8	8.8	
	0	28.6	10.0	35.2	
in 0.01 ml of	20	52.4	7.0	13.4	
plasma from	50	. 76.8	8.9	11.6	Y=
an immature	100	134.2	16.2	12.1	1.0x + 3.1
female rat	200	230.6	22.6	9.8	
	500	533.8	57.7	10.8	
Testosterone	0,	8.2	3.3	40.2	رزد سه ای
	20	27.4	5.0	18.2	
in 0.1 ml of	50	60.1	6.3	10.5	Y=
water	100	109.2	10.7	9.8	1.0x + 8.4
	200	206.7	17.7	8.6	and factors
	500	508.8	27.4	5.4	
-	0	14.2	3.7	26.1	
	20	35.4	6.9	19.5	
in 0.1 ml of	20 50	62.8	10.2	16.3	37
plasma from an immature	100	115.4	22.0	19.1	Y = 1.01x + 13.95
female rat	200			18.6	1.012 + 15.55
ļ. ·	500	214.7 520.1	39.9 63.4	12.2	A, two
					1, 2
Estradiol-178	. 0	7.8	2.5	32.1	
	20	26.9	3.9	14.5	
in 0.25 ml of	50	59.7	. 7,4	12.4	Y=
water	100	108.6	9.5	8.7	1.01x + 9.2
	200	218.1	15.7	7.2	
	500	512.6	50.2	9.8	
	0:	11.5	3.3	28.7	
in 0.25 ml of	20	33.2	6.1	18.4	
plasma from	50	60.8	9.7	16.0	$\mathbf{Y} =$
an immature	100	114.9	14.8	12.9	1.02x + 12.2
female rat	200	221.2	36.9	16.7	
	500	519.0	88.7	17.1	

^{*} SD=standard deviation, ** CV=coefficient of variation
Number of each determination: 4
X=steroid added, Y=steroid quantified

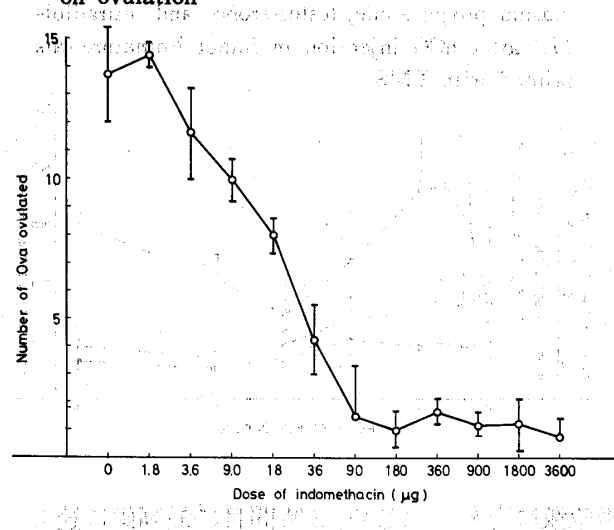
T, E₂ を同時にあるいは繰り返し測定し、級内 (intra-assay) および級間 (inter-assay) 変動係数を求めた。その結果は表3に示した。いずれも CV 20%以内であり precision の上からも本測定

法は信頼し得ることが知られた。また最高8pg程度の water blank 値も生ずることから、 20pg 以下の測定値が得られたときには原試料の使用量を適宜増加して再測定した。また本法による P, T, E_2 の回収率は表示した如く満足 すべきものであった。

2. IM の排卵抑制効果

hCG と同時に IM を $1.8\mu g$ から $3,600\mu g$ まで段階的に増量して投与した時の平均排卵数は図 3 に示した通りである。 IM を投与しない対照群では平均排卵数は 13.9 ± 1.3 (mean \pm SD) であつた

⊠ 3 Effects of increasing dose of indomethacin on ovulation



が、1.8~90μg の範囲では用量反応的に平均排卵数は減少し、90μg 投与群では排卵数は1.6±1.7 と最低に達し、以後3,600μg 投与群までこのレベルにとどまつていた。

3. 排卵過程における末梢血中性ステロイドの 経時的変動と、これにおよぼす IM の影響

hCG投与後末梢血中ステロイドの経時的動態を 図4に示した。3種のステロイドとも hCG 投与

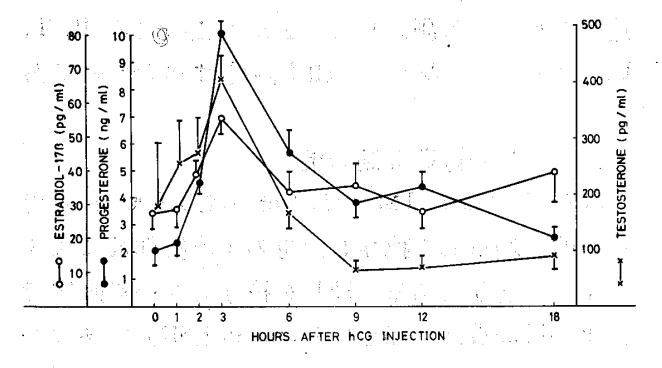
근데 이제함 이 전환 회사 우리 소행은 어

表3 Reliability of the method

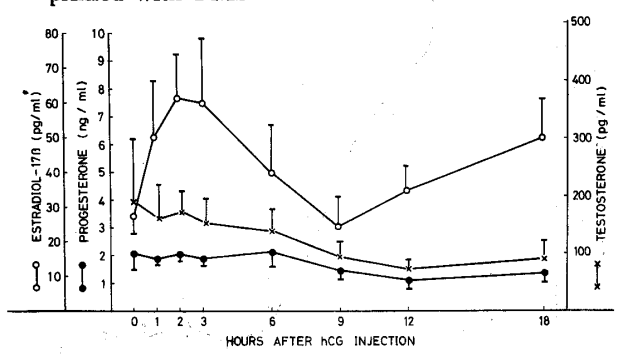
Steroid	Precision		Wat	Water blank (pg)		Overall recovery (%)	
	' n	Intra-assay (%)	Inter-assay (%)	n	Mean±SD	n	Mean±SD
Progesterone	6	11.38	14.90	10	7.24±2.7	12	82.6±12.5
Testosterone	5	8.71	12.21	10	7.71±3.2	12	76.7±13.3
Estradiol-17β	6	9.38	12.80	10	7.68±2.8	12	68.2±10.8

W. L.

図 4 Changes in plasma concentrations of progesterone, testosterone and estradiol-17月 after hCG injection in intact immature rats primed with PMS



⊠ 5 Effects of 90μg per rat of indomethacin on plasma progesterone, testosterone and estradiol-17β after hCG injection in intact immature rats primed with PMS

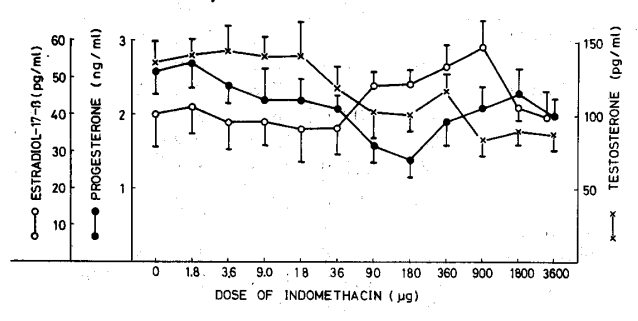


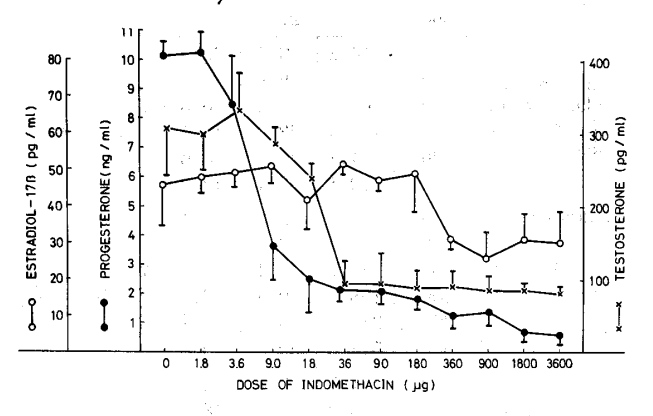
後急激に上昇しはじめ、3時間目に最高値に達し、以後6時間目までに急激に減少した。以後18時間目まで著明な変動は認められなかつたが、 E_2 はやや増加傾向を示した。さらに排卵抑制をもたらす最少有効量の IM ($90\mu g$) がこのようなステロイド動態にどのような影響をおよぼすかを検討した成績を図5に示した。PおよびTに関しては、対照群ラットで認められた一過性の急激な増加と減少が全く消失し、hCG 投与から18時間後に至るまで平担なカーブを描いて消長した。これに対し E_2 は対照群で認めたと同様の初期上昇を認め、9時間後に最低に達したあと、18時間目には対照群におけると同様再び増加傾向を示した。

4. hCG 投与後3, 18時間後の性ステロイド レベルにおよぼす IM の影響

つぎに 排卵反応観察時点 (hCG 投与後18時間

 ∑ 6 Changes in plasma concentrations of progesteron, testosterone and estradiol-17β 18h after injection of increasing dose of indomethacin simultaneously with hCG





目)における血漿 P, T, E_2 の測定値を図 6 に示した. 投与量の増加とともに,P値は徐々に減少し, $180\mu g$ 投与群 では 最低値 $1.4\pm0.2ng/ml$ に達し,対照群の値 $2.6\pm0.3ng/ml$ に比して有意(p<0.01)に減少していた. しかし IM をさらに増加するにつれてむしろ上昇傾向を認めた.これに対し E_2 は $1.8\sim36\mu g$ の 少量投与では低値を, $90\mu g$ 以上の多量投与では高値を示した. またT値はP値に近い変動を示したがP値ほど明瞭ではなかつた.以上を要約すると,有意の減少を認めた場合もあるが,これら 3 種の性ステロイドのうちのいずれも,IM の投与量に対し,明らかな相関をもつて変動したものはなかつた.

つぎに 3 時間後の P, T, E_2 値におよぼす IM の影響を検討した 成績を図 7 に 示した. P 値 は $18\mu g$ 投与群まで急激に減少し, 以後緩徐に減少

表 4 Ovulatory responses and plasma steroid levels in hypophysectomized immature rats 音 金融 ()

	Ovulatory response		Plasma steroid levels			
Treatment	Proportion of rats ovulating	Ova (mean±SD)	Progesterone (ng/ml) (mean±SD)	Testosterone (pg/ml) (mean±SD)	Estradiol-17\$ (pg/ml) (mean±SD)	
PMS	0/5	0	0.6±0.1	(3 97±13 (1)	ნ 19±7	
PMS+hCG	5/5	14.6±5.2	3.8±1.2	310±46	33±6	
PMS+hCG+indomethacin	0/5	e .g+ +, 0	0.7±0.2	106±26	32±4	

^{*} Samples were drawn 3 hours after hCG injection

して3,600 µg 投与群で最低に達した。T値は36 µg 投与群まで急激に減少し、これより多量の投与群 ではほとんど不変であった. これに対し E. 値は 180 µg 投与群までは不変であつたが、360 µg 以上 の投与群では軽度のしかし有意 (p<0.001) の減 少を示した.

5. 下垂体摘除ラットにおける検討成績

下垂体摘除ラットを用いた場合、IM の排卵な らびに3種のステロイド値におよぼす影響に関す る検討成績は表4に示した通りである。垂摘ラッ トにおいても平均14.6の排卵が認められたと同時 に, hCG 投与後 3 時間目の血中 P, T, E, ともに 著増した. $90\mu g$ の IM 投与によつて、排卵数が 0になるとともに P, T の増加が完全に抑制され た. しかし E2 値の増加は抑制されなかつた. こ れらの結果は、非垂摘ラットにおける検討成績が 垂摘ラットでも再現できることを示している.

排卵刺激の mediator として, PG が卵胞破裂 に重要な役割を果していることは今日一般に認め られている. その作用機序の全貌については必ず しも明らかにされていないが、PG 生合成阻害剤 である IM で排卵を抑制した場合、形態的にみ て卵胞の黄体化像が障害を受けることもなく、ま た末梢血中性ステロイド濃度も、対照と比べて有 意の変動を示さないことから、排卵の物理的プロ セスのみを阻害すると考えられて来た (O'Grady et al., 1972¹⁵⁾; Grinwich et al., 1972⁷⁾). そして この物理的プロセスとしては、 卵巣の 収縮性 が あげられている (Virutamasen et al., 1972²²⁾; Diaz-Infante et al., 19746; Okamura et al.,

IM 投与の効果を、排卵反応におよぼす効果と 性ステーイド値におよぼす効果の両面から比較検 討すると、本研究で得られた検討成績は、PG の 作用機序について従来考えられてきた上記機序の ほかに 有意義な 知見を 提供している。 まず IM の投与量を増加するにつれて、平均排卵数は用 量反応的に減少し、90mg でほぼ完全な抑制をみ た。他方 hCG 投与後3時間目にピークに達した 血中 P、T、E2のうち、、PとTはIM 投与量の 増量とともに 用量反応的 に減少し、 排卵を 抑制 し得る最少有効量 (90 μg) 以上の IM に よって hCG により誘導されるべきPやTの初期上昇が 完全に抑制された. IM が PG 生合成阻害剤であ ることを考えれば、いでれらのステロイドの動きか ら、hCGに反応して産生されるPとTが PGの 調節を受けているとの解釈は妥当であろう. しか し排卵反応との因果関係はどのように解釈すべき であろうか. 排卵刺激によつてステロイド産生が 急激に亢進することは、ウサギ卵胞(Suzuki et al., 1977²¹⁾), 上下卵胞 (Mori et al., 1978¹⁴⁾) やラット卵巣 (Bauminger et al., 19775) につい て証明されている. 本研究で用いたラットの実験 系についても、hCG投与後 P, T, E, ともに3時 間後にピークを有する急激な血中濃度の上昇を示 した. そして排卵刺激によつて、卵巣内にその産 生が亢進する性ステロイトのうち、P (Mori et al., 1977¹²⁾) や T (Mori et al., 1977¹³⁾) を特異 抗体で中和してやると、その後の排卵が抑制され るので、これらのステロイドが卵胞破裂に重要な 役割を果していることは明白である。

\$P\$《\$P\$李石》,高端都自由此中位都中国安徽东岛

以上のことからIMによる排卵抑制には、少 くともステロイド産生の抑制によつてもたらされ たものが含まれていると考えなければならない. このように排卵調節における PG の役割のなかには、性ステロイド生合成機能の調節を介しての作用経路のあることが本研究の結果から指摘できよう.これまでこの作用経路が見逃されていた背景には、排卵刺激によつて誘導される性ステロイド生合成機能の亢進が一過性であるため、hCG とIM の投与後、連続測定によつて経時的変動を追跡しなければ IM 投与の効果が判明しなかつたことが挙げられよう.したがつて剖検時唯一点のみの測定によつて IM が性ステロイド生合成に影響を与えることなく排卵を阻害するとした従来の見解は、早計な結論といわざるを得ない.

性ステロイド生合成に対する PG のこのような 調節作用については、以下の如きいくつかの特徴 が指摘できる. まず性ステロイド濃度および排卵 反応におよぼす IM の 効果が、垂摘ラットでも 再現されたことから、PG はおそらく卵巣レベル で作用しているであろう。つぎにこの PG 作用が 排卵過程 のどの 時期 に作用しているかで ある. hCG・による誘起排卵の過程は、ラットではおよ そ12~15時間であり (Rowlands, 1944¹⁸⁾), かつ ステロイド値のピークは6時間までには下降して いるので、PG による調節作用は、排卵過程の前 半に働いていると解してよいであろう. さらにラ ット卵胞内 PG 値は、卵胞破裂に向かつて急上昇 するが、排卵過程の前半期ではまだ低値に留まつ ている (LeMaire et al., 19759) 事実からすれ ば、おそらくは比較的低濃度の PG によつて調節 されていると考えられる。このことは極めて少量 の IM に反応して、血漿中PやTが減少してい る事実からも首肯されよう. 以上を要約すると、 排卵の成立に必須の性ステロイド産生亢進は、排 卵過程前半期に作用する比較的低濃度の PG によ つて調節されているといえよう.

排卵の成立には、本研究で明らかにされた作用 以外にも、これまで考えられてきた卵巣の収縮機 構に対する作用との共同作用が必要であろうとの 観点より、今後さらに詳細な実験的検討が望まれ る. 稿を終るにあたり,御指導,御校閲を賜った西村敏雄教授に深甚なる謝意を表します。また終始直接の御指導を賜った森崇英講師に深謝致します。さらに RIAに 関し御指導を賜った帝国臓器薬理研究部の 神戸川明博士ならびに実験 を補助して下さった 河瀬祐美子嬢に深謝致します。本研究は京都大学医学部基礎放射能教室 RI学生実習室研究室 ならびに 京都大学放射同位元素 センターにて行われたもので,両施設の御協力に謝意を表します。

対 献

- 1. 神戸川明: エストロゲン. 最新医学, 30:790, 1975.
- 2. **牧野拓雄**:性ステロイド ホルモンの Radioimmunoassay, 日内分泌誌, 49:629, 1973.
- 3. Armstrong, D.T. and Grinwich, D.L.: Blockade of spontaneous and LH-induced ovulation in rats by indomethacin, an inhibitor of prostaglandin biosynthesis. Prostaglandins, 1:21, 1972.
- 4. Armstrong, D.T., Grinwich, D.L., Moon, Y.S. and Zameenik, J.: Inhibition of ovulation in rabbits by intrafollicular injection of ondomethacin and prostaglandin F antiserum. Life Science, 14: 129, 1974.
- 5. Bauminger, S., Eckstein, B. and Lindner, H.R.: Changes in steroid concentration in the ovaries of immature rats treated with pregnant mare serum gonadotrophin and human chorionic gonadotrophin. J. Endocrinol., 75: 43, 1977.
- Diaz-Infante, Jr. A., Wright, K.H. and Wallach, E.E.: Effects of indomethacin and prostaglandin F_{2α} on ovulation and ovarian contractility in the rabbit. Prostaglandins, 5: 567, 1974.
- 7. Grinwich, D.L., Kennedy, T.G. and Armstrong, D.T.: Dissociation of ovulatiry and steroidogenic actions of luteinizing hormone in rabbits with indomethacin, an inhibitor of prostaglandin biosynthesis. Prostaglandins, 1:89, 1972.
- 8. Hamada, Y., Bronson, R.A., Wright, K.H. and Wallach, E.E.: Ovulation in the perfused rabbit ovary: The influence of prostaglandins and prostaglandin inhibitors. Biol. Reprod., 17: 58, 1977.
- 9. LeMaire, W.J., Leidner, R. and Marsh, J.M.:
 Pre and post ovulatory changes in the concentration of prostaglandins in rat Graafian follicles. Prostaglandins, 9: 221, 1975.
- 10. LeMaire, W.J., Yang, N.S.T., Behrman, H.H. and Marsh, J.M.: Preovulatory changes in the concentration of prostaglandins in rabbit

本。下V and randed to make the make

LarmaD.

1100 1

動中の湯

克德国际教育的第三人称

· CAMARITA (AMARINAMENTAL) AND CONTRACTOR

Sýmopele - To ende de perculid e medagonese, siemprotent al the estretus

. The employer of the end to golden to the flow for many regions of expect the employer of the

Control of the Schemenestin of the figure of a public t ofreg fastegeres se elle i liber volungen, pelos i locat, folká ser el negább a d

正是的编录工具,度谓自己编码工作stadute的证明证据与专业特殊的编辑的编辑的编辑的记录是一

pulposelle macent but seedern granding it high droph as remained that remains and according area distill. The support out locate at a delegance of early although gainers and relacified within bosons base and the contract reads a new orbital in a coloring contract of the contract with their verification of surgery har are not a la la minimizió ha coltaban agust da la colta minerqueblerro ha reals que signicaraje a negocia refe talistatus milio Thire des atumas a carla course y ura y qua edife seresarbingan i te at i commetto course.

and an early defined than until grahamete of hearty matters. Mill of your distinct approximation of

consider a construction of construction and the structure of the following construction considered the constructions are structured as the construction of the constru

多数 横边 医多种 化二甲基酚甲基甲基酚 化二甲基酚 化二甲基酚 医二甲基酚 医二甲基酚酚 "我们

Bern. The above respect the evarious energial colors of the extension of the edge.

Graafian follicles. Prostaglandins, 3: 367, 1973. 44 Carlona Constant Per

- 11. Marsh, J.M. and LeMaire, W.J.: Cyclic AMP Accumlation and steroidogenesis in the human corpus luteum: Effect of gonadotropins and prostaglandins. J. Clin. Endocrinol. Metab., 38: 99, 1974. (it 95)
- 12. Mori, T., Suzuki, A., Nishimura, T. and Kambegawa, A.: Inhibition of ovulation in immature rats by anti-progesterone antiserum. J. Endocrinol., 73: 185, 1977.
- 13. Mori, T., Suzuki, A., Nishimura, T. and Kambegawa, A.: Evidence for androgen participation in induced ovulation in immature rats. Endocrinology, 101: 623, 1977.
- 14. Mori, T., Fujita, Y., Suzuki, A., Kinoshita, Y., Nishimura, T. and Kambegawa, A.: Functional and structural relationships in steroidogenesis in vitro by human ovarian follicles during maturation and ovulation. J. Clin. Endocrinol. Metab., 47: 955, 1978.
- 15. O'Grady, J.P., Caldwell, B.V., Auletta, F.J. and Speroff, L,: The effects of an inhibitor of prostaglandin synthesis (indomethacin) on ovulation, pregnancy and pseudopregnancy in the rabbit. Prostaglandins, 1: 97, 1972.
- 16. Okamura, H., Okazaki, T. and Nakajima, A.: Effects of neurotransmitters and prostaglandins

PROPERTY OF THE STATE OF THE BOOK OF THE

的现在分词的 建筑工作特别的建筑的现代 疑論提行 医阿萨萨斯斯氏 网络蜡管 收入 目标点点

2.17 人名西汉内索 法整额的能能 多类似性。

- on human ovarian contractility. Obstet. Gynecol., 44: 720, 1974.
- 17. Orczyk, G.P. and Behrman, H.R.: Ovulation blockade by aspirin or indomethacin- In vivo evidence for a role of prostaglandin in gonadotropin secretion. Prostaglandins, 1: 3, 1971.
- 18. Rowlands, I.W.: The production of ovulation in the immature rat. J. Endocrinol., 3: 384, 1944.
- 19. Sato, T., Taya, K., Jyujo, T. and Igarashi, M.: Ovulation block by indomethacin, an inhibitor of prostaglandin synthesis: A study of THE STATE its site of action in rats. J. Reprod. Fertil., 39: 33, 1974.
 - 20. Speroff, L. and Ramwell, P.W.: Prostaglandin 医细胞 stimulation of in vitro progesterone synthesis. J. Clin. Endocrinol. Metab., 30: 345, 1970.
- Suzuki, A., Mori, T. and Nishimura, T.: Changes in steroidogenesis by isolated rabbit ovarian 第一种 经收入的 follicles in vitro during the preovulatory interval with emphasis on active androgen production. Endocrinol. Jap., 24: 129, 1977.
 - Virutamasen, P., Wright, K.H. and Wallach, E.E.: Effects of prostaglanding E_2 and $F_{2\alpha}$ on ovarian contractility in the rabbit. Fertil. Steril., 23: 675, 1972.

医肠囊性 化碱式试验剂 医电子 医电子 医蝶状性囊膜 医精神的 法国际电子

(No. 4557 昭54・6・11受付)

全的现在对中国的 figures 出现 多少

直部人為阿羅爾聯議のよれなど

医海绵性 医髓 化加油化物加油 有效的复数形式

แล้ว รายทูกที่น้า เทอราคมา ที่ทางลี เรียกลา ครามเพลเลย